

## مطالعه عددی سه بعدی اثر زبری بر شکل گیری کاویتاسیون در سرریز سد شهید عباسپور

مهدي روحاني قوچاني<sup>۱</sup>، سيد على اکبر صالحی نيشابوري<sup>۲</sup>، سيد ابراهيم حسيني<sup>۳</sup>

۱- کارشناسی ارشد مهندسی عمران-مهندسی آب، شرکت آبادگران بنا و ساختمان

۲- استاد بخش مهندسی عمران، دانشکده فني و مهندسي، دانشگاه تربیت مدرس

۳- کارشناسی ارشد مهندسی عمران-مهندسی آب، سازمان آب و برق خوزستان

e-mail:mehdirouh@yahoo.com

### خلاصه

بدترین مشکل و خطری که ساختمان سرریز سدها را تهدید می‌کند پدیده کاویتاسیون است که در نقاطی از سازه که سرعت جریان آب زیاد است به وجود می‌آید. پس از آنکه سیستم‌هایی هیدرولیکی طراحی گردید که در آنها قسمتی در معرض سرعت جریان زیاد سیال و به دنبال آن ایجاد پدیده کاویتاسیون بود طراحان را بر آن داشت که با این پدیده به طور جدی برخورد نمایند. در این تحقیق پدیده کاویتاسیون بر روی سرریز سد شهید عباسپور با استفاده از نرم افزار Flow-3D مدل سازی عددی شده و تاثیر پارامتر زبری بر ایجاد کاویتاسیون در سرریز سد فوق الذکر مورد مطالعه و بررسی قرار گرفت. مدل گردد. نتایج مدل هیدرولیکی این سد با نتایج حاصل از این نرم افزار و نرم افزار W.S.77 مقایسه گردید که نتایج نشان دهنده اینست که نتایج مدل سه بعدی Flow-3D از دقت مناسبی برای بررسی زبری در پدیده کاویتاسیون برخوردار می‌باشد.

كلمات کلیدی: سرریز، مدل سه بعدی، سد شهید عباسپور، کاویتاسیون، Flow-3D

### .1 مقدمه

پدیده کاویتاسیون هم در سیستم‌های بسته و هم در سیستم‌های باز مسئله آفرین است. در حال حاضر برای جبران و یا به حداقل رساندن خسارت ناشی از کاویتاسیون و با در نظر گرفتن جنبه‌های اقتصادی موارد زیر مطرح می‌باشد:  
(الف) رعایت مواردی در طراحی سازه‌های هیدرولیکی به شکلی که وقوع پدیده کاویتاسیون را از بین برد (نظیر احداث هواده در سرریزها).

(ب) کاهش اثر کاویتاسیون بر روی سازه که در این مورد سطوحی را که در معرض تخریب قرار می‌گیرد توسط روکش‌های مقاوم تجهیز می‌نمایند.

مایعات در اثر عوامل استاتیکی یا دینامیکی تحت فشار ثابت، درجه حرارت‌شان افزایش می‌یابد و با ادامه این حالات در مایع حبابهای محتوی هوا ( و یا مخلوطی از هوا و بخار آب ) تولید شده و در اثر ارتباط با هم بزرگ می‌شوند. اگر این فرآیند در دمای ثابت در اثر کاهش فشار دینامیکی صورت گیرد، هنگامی که حبابهای تولید شده به سمت ناحیه ای با فشار بیشتر هدایت شوند، در هم فرو رفته، انفجار در آنها صورت خواهد گرفت و سبب تولید فشار و ضربه بر روی سازه

شده، تولید خسارت می نمایند . مجموعه این اعمال تحت نام کاویتاسیون شناخته می شود که یک پدیده دینامیکی است [1].

شاخص ترین نوع تأثیری که کاویتاسیون بر جای می گذارد و در معرض دید قرار می دهد صدمه ایست که بر روی سطح جداره جریان وارد می کند. تجربیات عملی در بهره برداری از سرریزها و همچنین آزمایشات و مطالعات متعدد بر روی مدل وپروتوتیپ حاکی از آنست که خسارات ناشی از کاویتاسیون در اثر علل و شرایط متنوعی است و عموماً یک مسئله به تنها بی در ایجاد پدیده کاویتاسیون کافی نمی باشد، اما ترکیبی از عوامل هندسی و هیدرولیکی و سایر عوامل وابسته در ایجاد خرابی دخیل هستند. ناهمواریهای ناشی از وجود ناصافی و نامنظمی در سطح مجرما می تواند سبب ایجاد کاویتاسیون گردد [1]. به همین جهت در سازه های هیدرولیکی با هدایت زیاد و سرعت بالا لزوم استفاده از سطوح صاف و منظم و بیوسته از اهمیت ویژه ای برخوردار است. بدین ترتیب دقت در اجرای سطوح جریان به خصوص در مکانهای بحرانی یعنی در محلهایی با فشار کم و سرعت بالا (بیش از ۲۰-۳۰ متر بر ثانیه) از اهمیت بیشتری برخوردار است. نامنظمی های سطحی سبب افت فشار موضعی جریان شده و باعث شکل گرفتن حبابها و هدایت آنها به محدوده با فشار زیاد شده، در نتیجه به انفجار حبابها ختم می گردد. انفجار حبابها به نوبه خود بر روی سطح جداره جریان صدمه وارد می کند [1].

در مورد بررسی کاویتاسیون در جریانهای سطح آزاد تاکنون به استفاده از بررسی اندیس کاویتاسیون بسنده می شد که این امر باعث می شود طراحان به اتخاذ مقادیر دست بالا و تحمیل هزینه اضافی بپردازنند. در صورتی که با استفاده از نرم افزار Flow-3D می توان شرایط واقعی طرح را مدل نمود و حالت های مختلف را در زمان اندک و با صرف هزینه کم بررسی کرد و به شرایط بهینه رسید. لذا در این مقاله سعی بر آن شده است با استفاده از این نرم افزار پدیده کاویتاسیون را بر روی سرریز سد شهید عباسپور شبیه سازی نموده و اثر تغییرات زبری را بر روی آن مطالعه و بررسی نمود.

## ۲. مروری بر کارهای انجام شده

فالوی در کتاب خود، زبری را به دو دسته تقسیم نموده است [1]:

الف- زبری غیر یکنواخت که منظور، نامنظمی های مقطوعی در طول جریان می باشد (مانند پله).

ب- زبری یکنواخت که منظر، نامنظمی های یکنواخت در طول جریان می باشد

لایه برشی در المانهای با زبری یکنواخت، در ناحیه ای خاص از میدان جریان رخ می دهد. کاویتاسیون در محل این ناحیه برشی رخ می دهد. در هر صورت، همراه با جریان بروی زبری یکنواخت (مانند جریان روی لایه ای از ذرات ماسه)، یک لایه برشی در سرتاسر سطح جریان وجود دارد. بنابراین، کاویتاسیون به طور تصادفی در خلال جریان رخ می دهد. چنانچه اندیس کاویتاسیون از مقدار آن در شرایط آغازین کاویتاسیون کمتر گردد، کاویتاسیون در لایه های ورقه ای مانند روی سطح زبری رخ می دهد. محل این لایه های ورقه ای به اندازه و طیف نوسانات آشفتگی در لایه مرزی بستگی دارد [1].

همچنین نای در سال ۲۰۰۱ تاثیر زبری بر شکل گیری کاویتاسیون را مطالعه نموده است و نتیجه گرفته است که زبری باعث کاهش احتمال وقوع کاویتاسیون می گردد [2].

آفای فالوی در سال ۱۹۹۰ نرم افزاری به نام W.S.77 ارائه کرد که به آنالیز عددی پدیده کاویتاسیون در سرریزها می پرداخت [1]. برای پیش بینی وقوع کاویتاسیون از شاخص کاویتاسیون استفاده نمود. مدل عددی ارائه شده به صورت پرسش و پاسخ عمل می کند. بعد از این که در منوی اصلی نوع سرریز مورد نظر برای طراحی (اوچی و یا از نوع شوت) مشخص گردید باید مقدار پارامترهای زیر به مدل داده شود: دبی طراحی سرریز ( $m^3/s$ )، دمای محیط بر حسب درجه سانتیگراد، رقوم کف دریاچه در محل سرریز (بر حسب متر از سطح دریا)، رقوم تاج سرریز، رقوم کف حوضچه آرامش و یا انتهایی سرریز و شیب انتهای سرریز. اگر کاربر خواستار فایل خروجی باشد، برنامه چهار صفحه خروجی خواهد داشت که

صفحه اول شامل مشخصات جریان ورودی و در دومی سرعت، فشار پیزومتری، عمق جریان و ... و صفحه سوم شامل مشخصات و ابعاد سه نوع هواوه قابل استفاده در سرریز است. صفحه چهارم نیز شامل دبی، عمق و نوع جریان، ضخامت لایه مرزی، اندیس کاویتاسیون و پتانسیل خسارت برای تمامی مقاطع است.

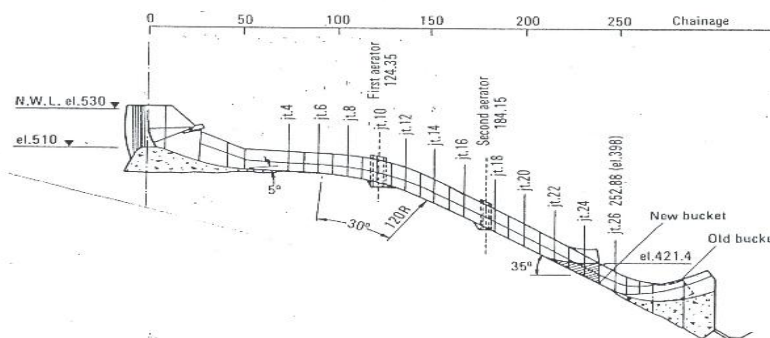
آقای احمدی نیز در سال ۱۳۸۱ در پایان نامه خود روش‌های موجود در کاهش دادن احتمال وقوع کاویتاسیون را با استفاده از اصلاح نیمرخ سرریزها مطالعه و بررسی کرده است [۳]. در تحقیق مذکور از دو روش "طراحی احنا با عدد کاویتاسیون ثابت" و "طراحی احنا با فشار کنترل شده" استفاده شده است. در روش اول سعی می‌شود شاخص کاویتاسیون مربوط به پروفیل آب برروی احنا، ثابت بماند. در روش دوم سعی می‌شود که تغییرات شاخص کاویتاسیون برروی احنا بیشتر از شاخص کاویتاسیون بحرانی باشد؛ بنابراین برنامه‌ای به زبان فرترن تهیه شده است تا نیمرخ سرریزها را با استفاده از روش‌های فوق طراحی یا اصلاح نماید و اثر روش‌های فوق الذکر را در شرایط مختلف هیدرولیکی مقایسه نماید.

### ۳. مشخصات میدان

هدف از ارائه این بخش از مقاله، بررسی مشخصات میدان حل در نرم افزار Flow-3D جهت شبیه سازی جریان روی سرریز سد شهید عباسپور می‌باشد. سد مخزنی شهید عباسپور (کارون) از نوع سد بتنی دو قوسی است که بر روی رودخانه کارون در نزدیکی مسجد سلیمان (شمال شرقی) احداث گردیده است. مشخصات فنی سد به شرح زیر می‌باشد [۴].

- نوع سد: بتنی دو قوسی - ارتفاع سد از بی: ۲۰۰ متر - حجم مخزن: ۲۹۰۰ میلیون متر مکعب
- طول تاج سد: ۳۸۰ متر - رقوم سطح آب در حالت نرمال: ۵۳۰ متر(دبی ۸۱۰۰ متر مکعب بر ثانیه)
- رقوم تاج سرریز: ۵۱۰ متر - رقوم سطح آب در حالت بیشترین سیلاب احتمالی: ۵۴۰ متر(دبی ۱۶۵۰۰ متر مکعب بر ثانیه)

سرریز سد از سه گذرگاه، هر کدام به عرض ۱۸/۵ متر تشکیل شده است و به وسیله سه دریچه قطاعی به ابعاد ۱۵\*۲۰ متر کنترل می‌شود. این گذرگاهها در مجموع برای سیلاب ۱۶۵۰۰ متر مکعب بر ثانیه طرح و آزمایش گردیده است. نمایی از مقطع سرریز سد در شکل ۱ مشاهده می‌شود.



شکل ۱- نمایی از مقطع سد شهید عباسپور

تحقیق حاضر بر اساس مدل هیدرولیکی سرریز این سد که توسط مرکز تحقیقات آب وزارت نیرو ساخته شده است، صورت گرفته است [۴]. محدوده ساخت مدل هیدرولیکی سرریز با مقیاس ۶۲/۵ : ۱ شامل قسمتی از بدنه سد در

مجاورت ورودی سرریز، سرریز اصلی سد، دریچه های قطاعی، ۲۵۰ متر از دریاچه بالا دست و حدود ۸۰۰ متر از طول رودخانه در پایاب سد می باشد.

با توجه به گزینه های موجود در نرم افزار Flow-3D، برای مدل کردن سرریز سد شهید عباسپور در آن، مشخصات سرریز به صورتی که در ذیل مشاهده می شود، تعریف شده است:

- زمان به گونه ای تعریف شده است که جریان به حالت ماندگار برسد، یعنی تغییرات میدان جریان تقریباً به روندی ثابت منتهی شود. پس از سعی و خطاهای متعدد زمان ۷۰ ثانیه به عنوان زمان اتمام محاسبات انتخاب شد.

- جریان به صورت یک سیاله و تراکم ناپذیر و به صورت سطح آزاد تعریف می گردد. لازم است ذکر شود که در این نرم افزار برای استفاده از روش VOF نیاز نیست دو سیال آب و هوا تعریف گردد؛ بلکه با انتخاب یک سیال (آب) و در نظر گرفتن گزینه سطح آزاد، خود نرم افزار از روش VOF برای حل میدان جریان استفاده می کند.

- سیال، لزج و برای حل آن از مدل آشناگی RNG و مقدار شتاب ثقل دراستای Z، ۹/۸۱-۹ متر بر مجدد ثانیه در نظر گرفته می شود.

- متغیر فشار کاویتانسیون با توجه به فاصله از سطح دریا ۲۴۵۰ پاسکال تعیین و زمان شکل گیری کاویتانسیون برای در نظر گرفتن تغییرات شعاع حباب کاویتانسیون در برنامه به صورت پیش فرض، نصف فاصله زمانی در نظر گرفته شده برای ارائه خروجیها می باشد.

- برای در نظر گرفتن مشخصات سیال (جرم حجمی، لزجت)، آب در دمای ۲۰ درجه سانتیگراد تعریف شده است.

- برای مشخص کردن حدود شبکه بندی بلوکهایی مشخص می شود که کلیه اندازه های سازه مورد نظر و فضای آزاد در داخل آن تعریف می شود. می توان همه جزیئات سازه مورد نظر را در یک بلوک هم در نظر گرفت. مختصات، با استفاده از سیستم مختصات کارتزین در داخل بلوک شبکه بندی در جهات سه گانه با استفاده از یک سری نقاط ثابت تعریف می شوند.

- در تحقیق حاضر تعداد سلولها درجهت جریان ۲۵۰، در عرض سرریز ۵ و در ارتفاع ۱۱۵ عدد در نظر گرفته شده است. باید در نظر داشت که فضای حل میدان جریان مکعبی به ابعاد  $18/5 \times 750 \times 230$  متر بوده است و جریان از ۱۵۰ متر قبل از تاج سرریز تا ۳۰۰ متر بعد از انتهای پرتاپ کننده جامی، شبیه سازی شده است. همچنین در ارتفاع، تقریباً تا ۵۰ متر بالای تاج سرریز در میدان حل در نظر گرفته شده اندازه شبکه بندی به ابعاد  $2 \times 3/7 \times 3$  به ترتیب در راستای طولی، عرضی و ارتفاعی جریان که مربوط به مدل معرفی گردید.

- در مختصات کارتزین برای تعریف شرایط مرزی شش وجه مشخص است که با توجه به جهت مثبت محورها شامل X Min, X Max, Y Min, Y Max, Z Min, Z Max می باشد. لازم به ذکر است که کلیه این مشخصات در یک بلوک تعریف می شوند. برای انجام محاسبات حل میدان جریان، برای Z MAX شرط مرزی تقارن، شرط مرزی دیواره، شرط مرزی تقارن و X MIN شرط مرزی تقارن و Y MIN شرط مرزی فشار ثابت به صورت ارتفاع آب تعریف شده است. دیگر، از حاصلضرب سرعت وسط عمق جریان روی سرریز در عمق جریان روی سرریز تعیین شده است. همچنین برای X MAX شرط مرزی جریان خروجی درنظر گرفته شده است. در جدول (۱) برای ارتفاعهای متفاوت آب، دیگر معادل آنها آمده است.

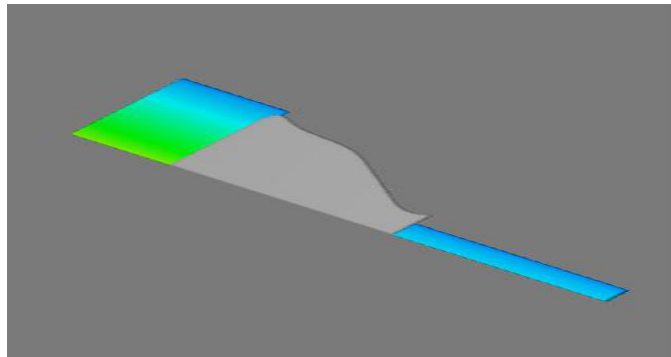
جدول ۱- هد آب معادل دبی مورد نظر

دبی معادل (متر مکعب بر ثانیه)	ارتفاع آب پشت سد (متر)
211.2	5500
207.4	4500
205.7	4000

- در شرایط اولیه جریان، فشار به صورت هیدرولوستاتیک در راستای مختصات Z در نظر گرفته شده است.

- فضای اولیه پر شده با سیال در فضای بلوک از ۱۵۰ متر قبل از سرریز تا روی تاج سرریز به ارتفاع ۱۸۷/۵ متر از کف می باشد.

در شکل ۲ وضعیت جریان را روی سرریز در شرایط اولیه نشان می دهد. تغییر رنگها مربوط به تغییر در مقدار فشار می باشد. برای پایین دست جریان، دریاچه ای به عمق ۲۰ متر در نظر گرفته شده است.



شکل ۲- وضعیت جریان در شرایط اولیه

#### ۴. معادلات حاکم

##### ۴.۱. معادله پیوستگی جرم

معادله پیوستگی جرم به طور کلی به صورت زیر است:

$$V_F \frac{\partial \rho}{\partial t} + \frac{\partial}{\partial x} (\rho u A_x) + R \frac{\partial}{\partial y} (\rho v A_y) + \frac{\partial}{\partial z} (\rho w A_z) + \zeta \frac{\rho u A_x}{x} = RDIF + RSOR \quad (1)$$

که ضریب  $v_F$  برابر  $\rho \cdot C_p \cdot \mu$ ،  $\mu$  برابر ضریب نفوذ ممنتوم و  $C_p$  یک ثابت است که معکوس آن مربوط به عدد آشفتگی اشمتیت است.

##### ۴.۲. معادله مومنتوم

معادلات ممنتوم برای اجزای سرعت سیال ( $U, V, W$ ) در سه جهت مختصات، معادلات ناویر-استوکس با یکسری ترمها اضافی به شرح زیر هستند  $G_x$  شتابهای بدنه،  $f_x$  شتاب ناشی از لزجت،  $b_x$  افت جریان در محیطهای دارای خلل و فرج است:

$$\frac{\partial u}{\partial t} + \frac{1}{V_F} \left\{ u A_x \frac{\partial u}{\partial x} + v A_y R \frac{\partial u}{\partial y} + w A_z \frac{\partial u}{\partial z} \right\} - \zeta \frac{A_y v^2}{x V_F} = -\frac{1}{\rho} \frac{\partial p}{\partial x} + G_x + f_x - b_x - \frac{RSOR}{\rho V_F} u \quad (2)$$

##### ۴.۳. سطوح مشترک و سطوح آزاد

ترکیب سیال به صورت ترمها یکتابع حجم سیال و  $F(x, y, z, t)$  این تابع بیانگر حجم سیال بر واحد حجم و به صورت زیر است:

$$\frac{\partial F}{\partial t} + \frac{1}{V_F} \left[ \frac{\partial}{\partial x} (F A_x u) + R \frac{\partial}{\partial y} (F A_y v) + \frac{\partial}{\partial z} (F A_z w) + \zeta \frac{F A_x u}{x} \right] = FDIF + FSOR \quad (3)$$

ضراب نفوذ به صورت  $\rho/v_F = CF \cdot \mu$  یک ثابت است که عکس آن گاهی اوقات مربوط به عدد اشمتیت آشفتگی می شود، تعریف می شود. این ترم نفوذ تنها یک دید برای اختلاط آشفتگی دو سیال که توزیع آن با تابع  $F$  بیان

می شود، ایجاد می کند. ترم FSOR مربوط به دانسیته RSOR در معادله پیوستگی جرم است و برابر سرعت زمانی تغییرات تابع حجم یک سیال است که همراه با منبع جرم می باشد. بیان F وابسته به نوع مساله ای است که مدل می شود. برای یک سیال، F بیانگر کسر جمعی اشغال شده با سیال است؛ بنابراین جاهايی که  $F=1$  است سیال وجاهایی که  $F=0$  است حباب و حفره وجود دارد.

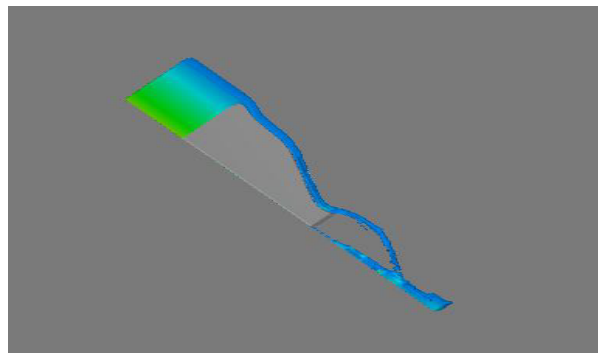
##### ۵. حل عددی میدان و بررسی اثر زبری بر شکل گیری کاویتاسیون

نرم افزار Flow-3D برای مشخص کردن کاویتاسیون در فایل خروجی، مقادیری با نام  $nf$  دارد که مشخص کننده وضعیت سیال در نقاط مورد نظر است. مقدار  $0$  نمایانگر وجود سیال به طور کامل در آن نقطه، مقدار  $7$  نمایانگر تشکیل سلول کاویتاسیون در آن نقطه و مقدار  $8$  نمایانگر فضای آزاد در آن نقطه می باشد. جدول ۱ مقایسه نتایج مربوط به اندیس کاویتاسیون حاصل از مدل هیدرولیکی [۵] و مدل  $W.S.77$  و نیز مقادیر  $nf$  از Flow-3D را برای دبی  $5000$  متر مکعب بر ثانیه ارائه می دهد. در این جدول و جداولی که بعداً می آیند، منظور از نمایانگر وضعیت نقطه در Flow-3D همان  $nf$  می باشد. همانگونه که در ادامه، مشاهده می شود، هنگامی که نرم افزار Flow-3D وقوع کاویتاسیون را مشخص می نماید که اندیس کاویتاسیون مدل هیدرولیکی عدد  $0/25$  را نشان می دهد که بنابر توصیه بعضی مراجع، مقدار اندیس کاویتاسیون بحرانی می باشد [۹]، اما نرم افزار  $W.S.77$  عدد  $0/229$  را نشان می دهد.

جدول ۱- مقایسه نشانگر کاویتاسیون حاصل از مدل‌های مختلف در دبی  $5000$  متر مکعب بر ثانیه

اندیس کاویتاسیون حاصل از مدل هیدرولیکی	اندیس کاویتاسیون حاصل از مدل $W.S.77$	نمایانگر وضعیت جریان در سلول محاسباتی در Flow-3D	فاصله از نقطه مبدا روی تاج سریز (متر)
0.536	0.357	0	90
0.521	0.333	0	95
0.508	0.334	0	100
0.475	0.331	0	105
0.452	0.326	0	110
0.431	0.32	0	115
0.418	0.312	0	120
0.4	0.303	0	125
0.374	0.292	0	130
0.355	0.281	0	135
0.331	0.269	0	140
0.31	0.257	0	145
0.289	0.245	0	150
0.272	0.256	0	155
0.261	0.241	0	160
0.25	0.229	7	165
0.238	0.219	7	170
0.189	0.177	7	200
0.157	0.15	7	252.8

نهایتاً برای ارائه کیفی نتایج نرم افزار Flow-3D در شکل ۳ وضعیت جریان روی سریز در پایان محاسبات نشان داده شده است. همانگونه که در شکل نمایانگر است، جریان از نظر کیفی به صورت قابل قبولی در آمده است و تغییر رنگها مربوط به تغییر فشار در مقاطع مختلف است که در اینجا مورد بحث نیست و هدف، تنها ارائه شکلی گرافیکی از جریان روی سریز می باشد.



شکل ۳- وضعیت جریان در انتهای محاسبات

به منظور بررسی تاثیر زبری بر شکل گیری کاویتاسیون در سریز سد شهید عباسپور زبریهای  $0/3$ ،  $5$  و  $10$  میلیمتر انتخاب شده است. این مقادیر از آنرو انتخاب گشته است که بتوان با نتایج نرم افزار W.S.77 مقایسه نمود. دبی مورد مطالعه در نرم افزار W.S.77  $4000$  متر مکعب بر ثانیه بوده است. در جدول ۲ اثر زبری در شکل گیری کاویتاسیون بر روی سد شهید عباسپور آمده است.

جدول ۲- اثر زبری در شکل گیری کاویتاسیون در  $4000$  متر مکعب بر ثانیه

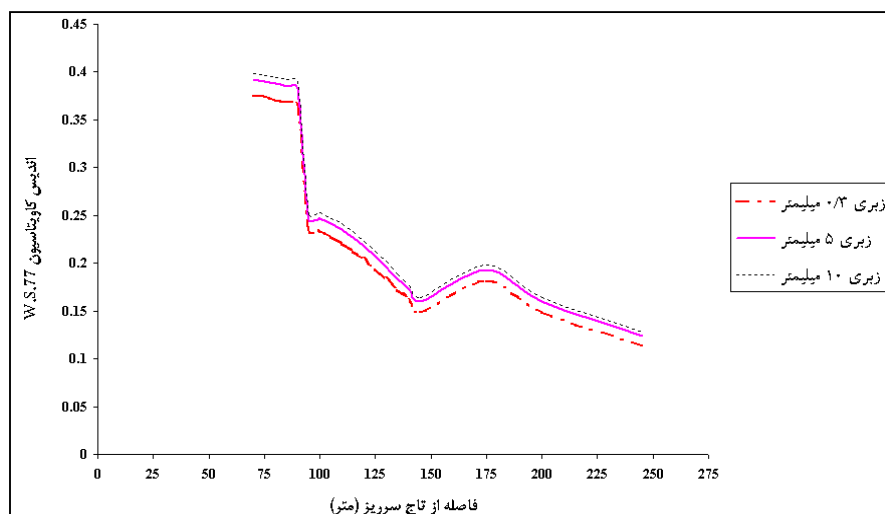
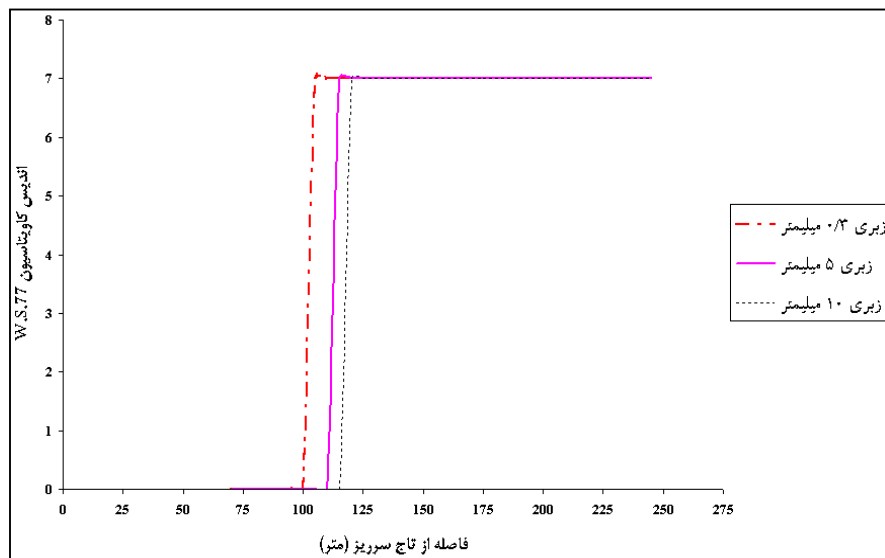
		زبری $0/3$ میلیمتر	زبری $5$ میلیمتر	زبری $10$ میلیمتر		
فاصله از نقطه مبدأ روی تاج سرریز (متر)	نمایانگر وضعیت جریان در سلول محاسباتی در Flow-3D	اندیس کاویتاسیون حاصل از W.S.77	نمایانگر وضعیت جریان در سلول محاسباتی در Flow-3D	اندیس کاویتاسیون حاصل از W.S.77	نمایانگر وضعیت جریان در سلول محاسباتی در Flow-3D	اندیس کاویتاسیون حاصل از W.S.77
70	0	0.375	0	0.392	0	0.398
75	0	0.375	0	0.39	0	0.396
80	0	0.371	0	0.388	0	0.394
85	0	0.368	0	0.385	0	0.392
90	0	0.365	0	0.383	0	0.39
95	0	0.233	0	0.246	0	0.251
100	0	0.233	0	0.247	0	0.253
105	7	0.228	0	0.242	0	0.247
110	7	0.221	0	0.235	0	0.241
115	7	0.213	7	0.227	0	0.233
120	7	0.204	7	0.218	7	0.223
125	7	0.194	7	0.207	7	0.213
130	7	0.184	7	0.196	7	0.202
135	7	0.172	7	0.184	7	0.189
140	7	0.161	7	0.172	7	0.177
145	7	0.149	7	0.16	7	0.164
175	7	0.182	7	0.193	7	0.198
200	7	0.149	7	0.16	7	0.164
245	7	0.114	7	0.124	7	0.128

با دقت در جدول ۲ معلوم می گردد، در زبری  $0/3$  میلیمتر، نرم افزار Flow-3D محل رخداد کاویتاسیون را در فاصله  $105$  متری از مبدأ نشان می دهد، در حالی که در زبری  $5$  میلیمتر فاصله  $115$  متری و در زبری  $10$  میلیمتر فاصله  $120$  متری را نشان می دهد.

اندیس کاویتاسیون حاصل از نرم افزار W.S.77 در فاصله ۱۰۵ متری برای زبری  $\frac{1}{3}$  میلیمتر مقدار  $0/228$ ، برای زبری  $5$  میلیمتر عدد  $0/242$  و برای زبری  $10$  میلیمتر مقدار  $0/247$  را نشان می دهد. این نتایج همچنین صحت نرم افزار W.S.77 را برای در نظر گرفتن زبری تایید می کند.

با مقایسه آمار جدول فوق الذکر مشاهده می شود، محل شروع کاویتاسیون در نرم افزار Flow-3D در زیرهای مربوطه، با مقدار اندیس کاویتاسیون  $0/228$  و  $0/227$  که از نرم افزار W.S.77 به دست می آید، معادل است که در واقع با نتایج مربوط به جدول  $1$  که در آن مقدار اندیس کاویتاسیون بحرانی (اغازین) را در نرم افزار W.S.77 عدد  $0/23$  نشان می داد، مطابقت خوبی دارد.

برای مشاهده کیفی تر، شکلهاي (۴-۸) و (۹-۴) برای درنظر گرفتن تاثیر پارامتر زبری بر شکل گیری کاویتاسیون با استفاده از دو نرم افزار معروفی شده، ارائه شده است.



همانطور که در شکلهاي فوق مشاهده می گردد، افزایش زبری یکنواخت در دبی ثابت، موجب حرکت محل آغاز رخداد کاویتاسیون به سمت پایین دست جریان می شود.

این فرآیند با نتایج نای نیز همخوانی دارد. نای نتیجه گرفته است که افزایش زبری موجب کاهش احتمال وقوع کاویتاسیون می‌گردد. به عبارت دیگر، در یک موقعیت ثابت بروی سرریز سد، با افزایش زبری، اندیس کاویتاسیون در آن نقطه، افزایش و احتمال وقوع کاویتاسیون، کاهش می‌یابد. به همین علت، محل رخداد کاویتاسیون روی سرریز با افزایش زبری به سمت پایین دست جریان حرکت می‌کند.

#### ۶. نتیجه گیری

- با توجه به استفاده از شبیه سازی عددی جریان روی سرریز در شرایط متفاوت، کاویتاسیون روی سرریز سد عباسپور در سرعتهای بالای ۳۰-۲۵ متر بر ثانیه شکل می‌گیرد.
- محل شروع کاویتاسیون در نرم افزار Flow-3D در زبریهای  $W.S.77$  و  $W.S.77$  میلیمتر، به ترتیب با مقدار اندیس کاویتاسیون  $0.227$ ،  $0.228$  و  $0.223$  که از نرم افزار  $W.S.77$  به دست می‌آید، معادل است که در واقع با نتایج مربوط به جدول ۱ که در آن مقدار اندیس کاویتاسیون بحرانی (اگازین) را در نرم افزار  $W.S.77$  عدد  $0.23$  نشان می‌داد، مطابقت خوبی دارد.
- افزایش زبری یکنواخت در دبی ثابت، موجب حرکت محل آغاز رخداد کاویتاسیون به سمت پایین دست جریان می‌شود. این فرآیند با نتایج نای نیز همخوانی دارد. به عبارت دیگر، در یک موقعیت ثابت بروی سرریز سد، با افزایش زبری، اندیس کاویتاسیون در آن نقطه، افزایش یافته و احتمال وقوع کاویتاسیون، کاهش می‌یابد.

#### ۷. تقدیر و تشکر

از دفتر تحقیقات و استانداردهای مهندسی آب سازمان آب و برق خوزستان به عنوان حمایت کننده مقاله تشکر می‌نماییم.

#### ۸. مراجع

- [1] Falvey, H.T., (1990). " Cavitation in chutes and spillways", Bureau of Reclamation, Denver.
- [2] Nie,Meng-Xi, 2001, "Cavitation prevention with roughened surface", ASCE, 127 (10), pp. 878-880
- [۳] احمدی، حسن، ۱۳۸۱، "اصلاح انحنای قائم در شوتها"، پایان نامه کارشناسی ارشد، دانشگاه صنعتی شریف.
- [۴] "گزارش مدل هیدرولیکی سرریز سد شهید عباسپور (کارون)", ۱۳۶۳، مؤسسه تحقیقات آب وزارت نیرو.
- [5] Jalalzadeh A.A., 1994, "Spillway damage and the construction of a new bucket at Karun I", Hydropower & Dams, 1, pp. 77-84.